

# Η υπολογιστική ρευστομηχανική στις ενεργειακές διεργασίες

Περιλήψη.

Στην εργασία αυτή, παρουσιάζονται οι πρόσφατες επιστημονικές πρόοδοι του εργαστηρίου Αεροδυναμικής του Ε. Μ. Πολυτεχνείου στην Υπολογιστική Ρευστομηχανική (μεθόδοι λόγια πεπερασμένων δύκων), με εφαρμογές σε ενεργειακές διεργασίες. Οι επιστημονικές αναφορές εστιάζονται στην ανάπτυξη μεθόδολογίας αριθμητικής επίλυσης των εξισώσεων της ρευστομηχανικής, με εφαρμογή της τοπικής πύκνωσης πλέγματος, της παραλλήλης επεξεργασίας υποχρωμάτων, της εφαρμογής πηλεοκοπικών μεθόδων πύκνωσης πλέγματος, στην ανάπτυξη μεθόδων διακριτοποίησης ανώτερης τάξης, και προηγμένων μοντέλων τύρβης.

## 1. Εισαγωγή.

Είναι γενικώς αποδεκτό στη μηχανική των ρευστών ότι, για δεδομένες αρχικές και οριακές συνθήκες ταχυτήτων, πέσεων και λοιπών μεταβλητών σε μια χρονική στιγμή  $t_0 < t < T$ , είναι μονοσήμαντα καθορισμένο (ντετερμινιστικό), τουλάχιστον μέχρι το χρόνο  $T$ , πριν την εφανίση χαοτικής συμπεριφοράς στο πεδίο. Μαθηματικά, αυτή η πρόταση μεταφράζεται στην υπόθεση υπαρξής και μοναδικότητας της λύσης των εξισώσεων Navier-Stokes. Τα τελευταία χρόνια, με την ανάπτυξη των ηλεκτρονικών υπολογιστών και της υπολογητικής ρευστομηχανικής, ως αξιόπιστου επιστημονικού εργαλείου διερεύνησης πεδίων ροής, αρχίζει να διαφανεύεται η δυνατότητα μιας ντετερμινιστικής αντιμετώπισης, ακόμη και τυρφώδων πεδίων ροής σε τρεις διαστάσεις, μέσω της απ' ευθείας επίλυσης των εξισώσεων Navier-Stokes (Direct Numerical Simulation-DNS). Ωστόσο, για προβλήματα πρακτικού ενδιαφέροντος, η προσέγγιση αυτή δεν προβλέπεται να είναι εφικτή (από άποψη υπολογιστικών δυνατοτήτων) για αρκετά χρόνια ακόμη και έτοι, υπάρχει η ανάγκη για την μοντελοποίηση της τύρβης. Τα τεχνολογικά όμως προβλήματα της ρευστομηχανικής, παρουσιάζουν συνθετότητα, τόσο από την φυσική άποψη (διφασ-

κές ροές, διεργασίες καύσης, παραγωγή ρυπαντών, εξάτμιση, ανακυκλοφορίες, μεταβατικά φαινόμενα, κλπ), όσο και από την άποψη της γεωμετρίας της συσκευής. Γι' αυτό και η διεθνής επιστημονική προσπάθεια, εστιάζεται, δή μόνο στο μεγάλο προβλήμα της προσομοίωσης της τύρβης, αλλά και στην ανάπτυξη γρήγορων και αξιόπιστων αλγορίθμων αριθμητικής επίλυσης των διαφορικών εξισώσεων-αλγεβρικών του πεδίου ροής, στην αξιόπιστη διακριτοποίηση του σύνθετου τοπολογικά χώρου και στην επιτάχυνση της διαδικασίας λύσης, εντός εύλογου υπολογιστικού χρόνου, ώστε να είναι δινατή, μέσω παραμετρικής μελέτης, η βελτιστοποίηση της ενεργειακής διεργασίας και συσκευής.

Στη συνέχεια, παρουσιάζονται επιστημονικά αποτελέσματα από την δραστηριότητα της ερευνητικής μου ομάδας τα τελευταία χρόνια, στην περιοχή των ενεργειακών διεργασιών, με επίκληση των κατάλληλων δημοσιεύσεων, για παραπέρα αναφορά.

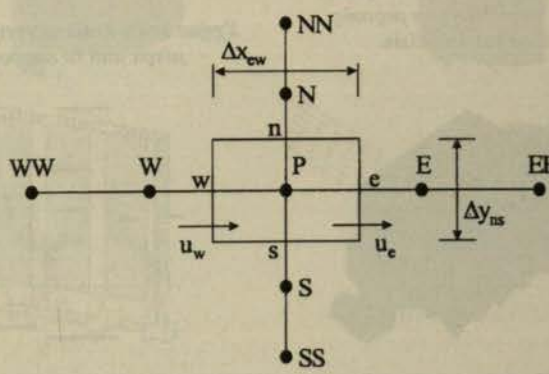
## 2. Πρόσφατες ερευνητικές εξελίξεις.

### 2.1 Τα σχήματα BSOU και VONOS αριθμητικής διακριτοποίησης των όρων συναντώντων.

Σκοπός του σχήματος διακριτοποίησης, είναι να προσεγγιστούν οι τιμές των εξαρτημένων μεταβλητών σε θέσεις του πεδίου, που είναι διαφορετικές από τις

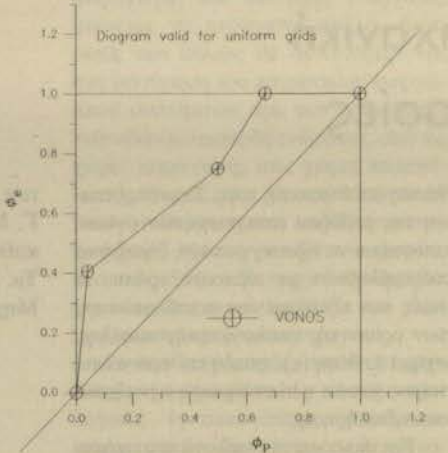
θέσεις αποθήκευσής τους. Στην περίπτωση της μεθόδου πεπερασμένων όγκων, απαιτείται να προσεγγιστούν, δηλαδή να παρεμβληθούν με κάποιον τρόπο, οι τιμές των εξαρτημένων μεταβλητών επί των ορίων της υπολογιστικής κυψέλης, σχήμα 1, θέση (e), επειδή επί των τελευταίων, γίνεται η ολοκλήρωση των εξισώσεων διατήρησης.

Κριτήρια για την επιλογή του σχήματος διακριτοποίησης, αποτελούν η τάξη ακρίβειας του, η ευσταθής ή ασταθής συμπεριφορά του, κατά τη σύγκλιση της επαναληπτικής διαδικασίας, καθώς και η ακρίβεια των αποτελεσμάτων, σε σχέση με τον αριθμό των πλεγματικών γραμμών που χρησιμοποιούνται. Τυπικό χαρακτηριστικό των σχημάτων πρώτης τάξης ακρίβειας είναι η αυξημένη αριθμητική διάχυση που εισάγουν στις διακριτοποιημένες εξισώσεις. Από την άλλη πλευρά, τα σχήματα ανώτερης τάξης (δεύτερη και άνω), παρουσιάζουν μη φραγμένες λύσεις και συχνά, προκαλούν ταλαντώσεις στην επαναληπτική διαδικασία, οι οποίες ενδέχεται να αποτέλεψουν την πλήρη σύγκλιση της μεθόδου. Γι' αυτόν τον λόγο, έχουν αναπτυχθεί τα φραγμένα σχήματα ανώτερης τάξης, τα οποία δίδουν αποτελέσματα αυξημένης ακρίβειας, χωρίς να εμφανίζουν τα μειονεκτήματα της ταλαντωτικής συμπεριφοράς. Προσφάτως, αναπτύχθηκαν τα σχήματα BSOU [1] και VONOS [2], τα οποία εφαρμόστηκαν με επιτυχία σε διαφορετι-



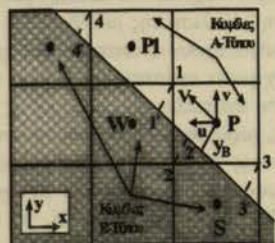
Σχήμα 1: Τομή και διαστάσεις υπολογιστικής κυψέλης στο επίπεδο x-y.

του  
Γ. Μπεργκέλε  
καθηγητή  
Τμ. Μηχανολόγων  
Μηχανικών, ΕΜΠ



Σχήμα 2: Το σχήμα VONOS.

κές περιπτώσεις ροών. Στα σχήματα 2 και 3 δίδονται, η έκφραση του σχήματος VONOS και τα αποτελέσματα από την εφαρμογή του στην περίπτωση συναγωγής βηματικού παλμού. Διατυπώνεται η αντερότητα του σχήματος VONOS, έναντι των άλλων σχημάτων, στη προσομοίωση των ασυνεχεών (Τα σχήματα VONOS, SMART και NOTABLE, είναι επίσης τρίτης τάξης ακρίβειας). Σημειώνεται ότι ισχύει:



Σχήμα 4: Αντιμετώπιση κεκλιμένων ορίων με τη μέθοδο των μερικώς καλυμμένων κυψελών.

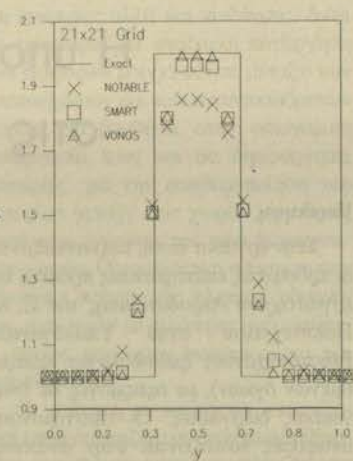


Σχήμα 7: Η σύνθετη γεωμετρία του Η/Φ.

$$\hat{\phi}_k = \frac{\phi_k - \phi_w}{\phi_E - \phi_w}, \quad k = W, w, P, e, E$$

## 2.2. Μεταχέιριση κεκλιμένων τοιχωμάτων - Η μέθοδος των μερικώς καλυμμένων κυψελών.

Στις περισσότερες περιπτώσεις εφαρμογής της μεθόδου περεδασμένων όγκων σε ενεργειακές διεργασίες, η γεωμετρία του πεδίου ροής, περιλαμβάνει κεκλιμένα τοιχώματα και όρια, τα οποία δεν συμπίπτουν με τις πλεγματικές γραμμές των καρτεσιανών πλέγματων. Ο απλούστερος τρόπος αντιμετώπισης αυτού του προβλήματος είναι, το κεκλιμένο όριο του πεδίου να περιγραφεί κλιμακωτά, αφαιρώντας από την υπολογιστική διαδικασία όσες κυψέλες έχουν κέντρο που κείται εκτός των ορίων του πεδίου. Όμως, αυτή η απλή αντιμετώπιση, δημιουργεί τοπικές ασυνέχειες κατά την επίλυση των εξισώσεων, οι οποίες είναι ανεπαύμητες. Ο βέλτιστος τρόπος περιγραφής των κεκλιμένου ορίου, εφόσον χρησιμοποιούνται καρτεσιανά πλέγματα, είναι η μέθοδος των μερικώς καλυμμένων κυψελών (porosity method). Με αυτή τη μέθοδο [3], τα κεκλιμένα όρια περιγράφονται με αριθμεία (σχήμα 4), ενώ η διακριτοίηση των εξισώσεων, παραμένει κατά βάση η



Σχήμα 3: Συναγωγή βηματικού παλμού.

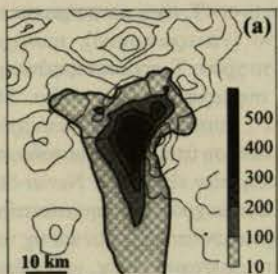
ίδια με οριομένες απλές μετατροπές, που αφορούν μόνο τις οριακές κυψέλες.

Τα σχήματα 5 και 6, παρουσιάζουν αποτελέσματα του πεδίου ταχυτήτων και συγκεντρώσεων ρυπαντών (CO) στο έδαφος στην Αττική, με τη προσομοίωση των ανωμαλιών εδάφους, με τη μεθοδολογία των μερικώς καλυμμένων κελιών.

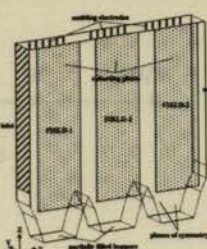
Στα σχήματα 7, 8 και 9, παρουσιάζονται αποτελέσματα από την εφαρμογή της μεθόδου των μερικώς καλυμμένων κυψελών σε ηλεκτροστατικό φίλτρο της ΔΕΗ.



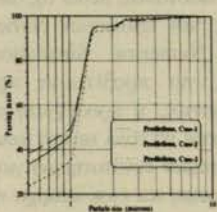
Σχήμα 5: Το πεδίο ταχυτήτων 10 μέτρα από το έδαφος.



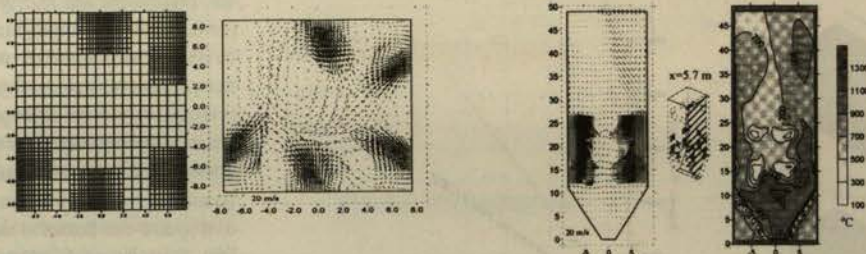
Σχήμα 6: Συγκέντρωση ρυπαντών στο έδαφος.



Σχήμα 8: Η ροή ανάμεσα στις πλάκες συλλογής.



Σχήμα 9: Βαθμός απόδοσης Η/Φ.



Σχήμα 8(α,β,γ): Τοπικές πυκνώσεις πλέγματος-πεδία ροής και θερμοκρασιών σε λέβητα.

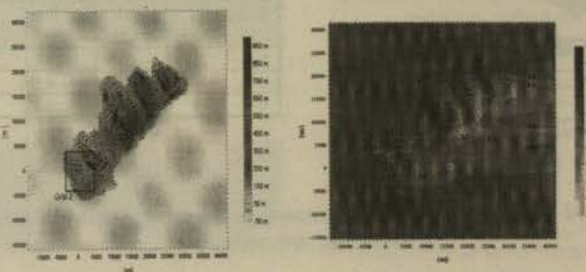
### 2.3. Τοπική πύκνωση πλέγματος.

Στην περίπτωση που η προσομοιούμενη ενεργειακή διεργασία λαμβάνει χώρα σε μεγάλο εύρος κλωτάκων μήκους, η μέθοδος τοπικής πύκνωσης πλέγματος, διευκολύνει την διακριτοποίηση του υπολογιστικού χωρίου, επειδή η αύξηση της πυκνότητας των πλέγματικών γραμμών, γίνεται μόνο στις περιοχές άμεσου ενδιαφέροντος. Τέτοιες είναι οι περιοχές όπου εμφανίζονται μεγάλες κλίσεις των εξαρτημένων μεταβλητών ή περιοχές, όπου λαμβάνουν χώρα φαινόμενα εξάτμισης ή καύσης. Η εφαρμογή της μεθόδου, παρέχει σημαντικό κέρδος σε υπολογιστικό χρόνο και μνήμη, αφού η αποθήκευση των μεταβλητών και ο χρόνος, διατίθενται μόνο για τις περιοχές που έχουν τα παραπάνω χαρακτηριστικά. Στα σχήματα 8(α,β,γ), παρουσιάζεται εφαρμογή της μεθόδου σε εστία βιομηχανικού απομονωγού 1000 MWth[4].

Η τοπική πύκνωση πλέγματος, μπορεί να έχει τηλεσκοπικό χαρακτήρα, μεθοδολογία που επιτρέπει τη σύνδεση τοπικών πεδίων ροής μικροκλίμακας, με πεδία ροής μακροκλίμακας. Το χαρακτηριστικό αυτό είναι απαραίτητο στην χωροθέτηση αιολικών πάρκων και εκτίμηση αιολικού δυναμικού, όπως φαίνεται και στα σχήματα 9(α,β), για το αιολικό δυναμικό της Άνδρου.

### 2.4. Κινούμενα πλέγματα - Πεδία ροής σε μηχανές εσωτερικής καύσης.

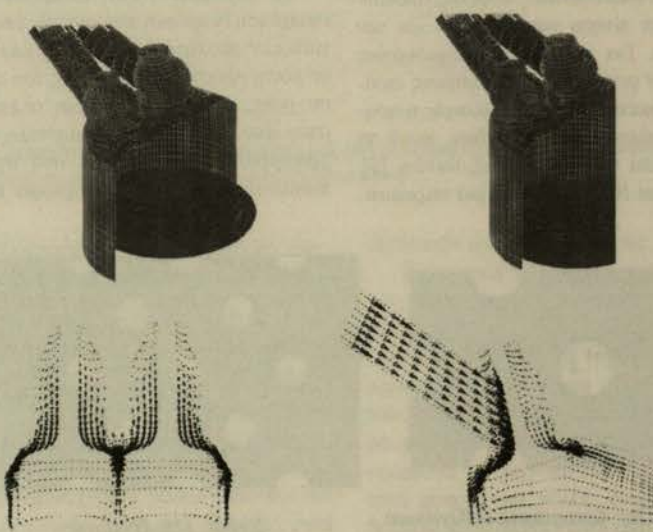
Η αύξηση μέσα στις τρείς τελευταίες δεκαετίες, της ρύπανσης του απομονωμένου αέρα στις μεγαλουπόλεις των αναπτυγμένων κοινωνιών, οφειλόμενη σε μεγάλο βαθμό στις MEK των αυτοκανήτων, καθώς και μια αυξημένη οικολογική ευαισθησία που έχει αναπτυχθεί τα τελευταία χρόνια στις δυτικές κοινωνίες, οδήγησε στην θέσπιση από τις κυβερνήσεις,



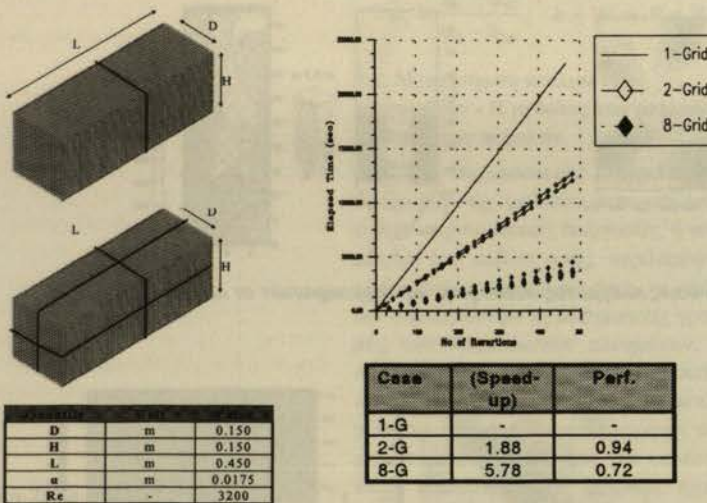
Σχήμα 9α: Τοπογραφία Άνδρου με τηλεσκοπική πύκνωση στη θέση του αιολικού πάρκου.

Σχήμα 9β: Το πεδίο ταχυτήτων 10 μέτρα από το έδαφος (συτελεστής επιτάχυνσης).

αυστηρότερων προδιαγραφών ορίων εκπομπής ωπαντών. Αυτό οδήγησε τις κατασκευαστικές βιομηχανίες αυτοκανήτων, να στρέψουν το ερευνητικό τους ενδιαφέρον, στην αύξηση του βαθμού απόδοσης (άρα και στη μείωση της κατανάλωσης καινούμαν) αλλά και στη μείωση των εκπεμπομένων ωπαντών των κανητήρων (έγχυση στον αυλό εισαγωγής, έγχυση ση α' ευθείας στη μηχανή δημιουργία στρωματοποίησης, επανακυλοφορία καινούργιων). Η βασική δυσκολία στην



Σχήμα 10 (α,β): Εκτόξευση κανούμον στον αυλό εισαγωγής. Θεοχές σταγόνων κανούμον, 10(γ,δ) Το πεδίο ταχυτήτων στη φάση εισαγωγής, 45 από το ΑΝΣ.



**Σχήμα 11 (a,b): Διαμέριση υπολογιστικού χώρου σε υποχωρία και επιτάχυνση εκτέλεσης προγράμματος.**

πρόβλεψη του πεδίου ροής σε MEK, έγκειται κυρίως, στην συνθετότητα της γεωμετρίας ( σύνθετη γεωμετρία και κινούμενα όρια, βαλβίδες και έμβολο) και στο χρονικά μεταβαλλόμενο πεδίο ροής, σε συνδυασμό με τον φεκασμό και καύση του καυσίμου. Το αριθμητικό πλέγμα που χρησιμοποιείται για την αριθμητική επίλυση των εξισώσεων ροής, είναι γενικευμένο καμπτολόγραμμο σύστημα, προσαρμοσμένο στη γεωμετρία και στα κινούμενα όρια. Έτοι, ο υπολογιστικές κυψέλες, ακολουθούν την κίνηση των βαλβίδων και του έμβολου. Για την αποφυγή δημιουργίας κυψελών μεγάλου λόγου επιμήκους εισάγεται η κανονομία της απαλούφης ή εισαγωγής πλεγματικών επιπέδων, κατά τη διαδικασία επίλυσης των εξισώσεων [5]. Το σχήμα 10, παρουσιάζει μια πειραματ-

κή γεωμετρία της εταιρίας Ford, με τις 2 βαλβίδες εισαγωγής. Η εκτόξευση καυσίμου, γίνεται στον αυλό εισαγωγής και οι σταγόνες καυσίμου παρακολουθούνται κατά Lagrangian τρόπο [σχήματα 10(α,β)]. Τα σχήματα 10 (γ,δ), παρουσιάζουν την ανάπτυξη της ροής, κατά την φάση εισαγωγής.

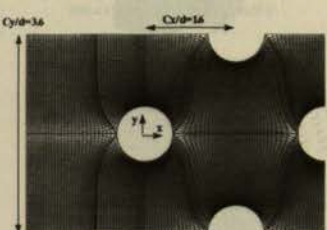
## 2.5 Παραλλήλη επεξεργασία υποχωρίων-Λογισμικό PVM.

Το λογισμικό PVM, επιτρέπει την ενοποίηση διαφόρων ετερογενών υπολογιστικών συστημάτων ή επεξεργαστών, σε κοινή προσπάθεια επίλυσης του πεδίου ροής, χωρίς την ανάγκη αλλαγών στον ίδιο τον κώδικα. Το μοντέλο που χρησιμοποιείται, βασίζεται στη σχέση master-slave, όπου το πρόγραμμα mas-

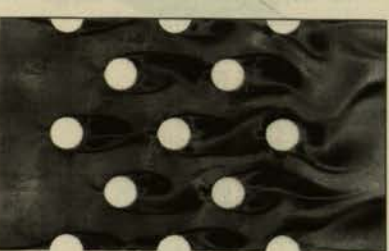
ter, δημιουργεί και ελέγχει τα προγράμματα slaves, τα οποία και αναθέτει στα διάφορα υπολογιστικά συστήματα. Το πρόγραμμα master, ελέγχει τη ροή πληροφοριών από τα προγράμματα slaves και των κοινών οριακών συνθηκών στα κοινά υπολογιστικά όρια. Κάθε πρόγραμμα slave, διαθέτει για εκτέλεση, ένα αντίγραφο του βασικού κώδικα και επλένε το πεδίο ροής σε κάθε υποχωρίο, που έχει χωρισθεί ο υπολογιστικός χώρος. Ορίζεται ως επιτάχυνση speedup =  $T_{ser}/T_{PVM}$  όπου  $T_{ser}$  είναι ο χρόνος που απαιτείται για την επίλυση του προβλήματος από τον σειριακό κώδικα και με ένα επεξεργαστή και  $T_{PVM}$  είναι ο χρόνος με τη χρήση της μεθοδολογίας PVM, ενώ ως απόδοση ορίζεται η, performance = speedup/Nproc, όπου Nproc ο αριθμός των επεξεργαστών που χρησιμοποιούνται. Στη συνέχεια, παρουσιάζονται αποτελέσματα επίλυσης του πεδίου ροής σε ορθογωνική κοιλότητα, με πλέγμα 41x41x82. Ο υπολογιστικός χώρος, χωρίσθηκε σε 2 ή 8 υποχωρίους. Τα σχήματα δείχνουν την επιτάχυνση που επιτυχάνεται και έτοι, είναι φανερό ότι, δεν υπάρχει η ανάγκη παραλληλοποίησης του σειριακού κώδικα.

## 2.6 Πρότυπο τόφης μεγάλων δινών-Διαφανή Ροή σε εναλλάκτες θερμότητας.

Για τα μοντέλα τυφώδους συνεκτικότητας, το βασικό μέλημα είναι να βρεθεί η έκφραση για την τυφώδη συνεκτικότητα μη που εισάγεται από την υπόθεση Boussinesq, στις εξισώσεις διατήρησης οριής Reynolds. Στη διεθνή βιβλιογραφία, έχει επικρατήσει το μοντέλο δύο εξισώσεων k-e για την τυφώδη κινητική ενέργεια και τον ρυθμό καταστροφής της. Το μοντέλο αυτό, εμφανίζει μια ευρύτατη περιοχή αξιοποίησης, παρά τα πολλά επιστημονικά μειονεκτήματα που παρουσιάζει, ιδιαίτερα σε χρονικά μεταβαλλόμενα πεδία ροής. Τα τελευταία χρόνα, με την αύξηση της ταχύτητας των ηλεκτρονικών υπολογιστών, έγινε δυνατή η εφαρμογή της προσομοίωσης των μεγάλων δινών, η οποία επιτρέπει την προσομοίωση των μεγάλων κλωμάτων του πεδίου ροής, σε κάθε χρονική στιγμή και σε κάθε σημείο του υπολογιστικού πλέγματος, ενώ εισάγονται οι υποπλεγματικές τάσεις, οι οποίες μοντελοποιούνται ακριβέστερα (μοντέλο Smagorinsky), λόγω του ισοτροπικού



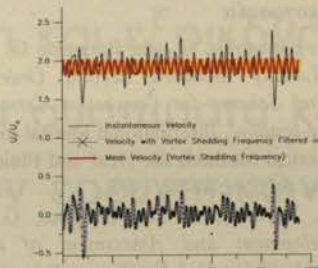
**Σχήμα 12α: Λεπτομέρεια ορθογωνίου καμπτολόγραμμου πλέγματος (συνολικά 280x280) για τη Π.Μ.Δ. σε μετατοπισμένη διάταξη κυλινδρων.**



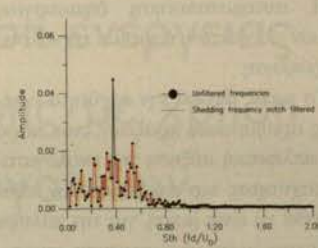
**Σχήμα 12β: Περιοχές ιο-στροβιλότητας στη μετατοπισμένη διάταξη κυλινδρων.**

χαρακτήρα της τύρβης στις μικρές κλίμακες. Οι προλέξεις με το μοντέλο των μεγάλων δινών, απαιτούν παραπέρα επεξεργασία της χρονοσειράς ταχύτητας, πάσης, ώστε να υπολογιστεί η μέση τιμή του πεδίου και οι συχνότητες τύρβης με τις πιθανές ιδιοσυχνότητες εκπομπής στροβίλων.

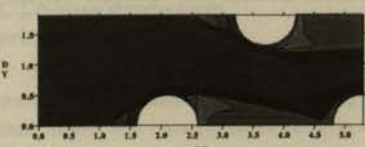
Το μοντέλο των μεγάλων δινών, εφαρμόσθηκε, μεταξύ άλλων, στην πρόλεξη της τυρβώδους ροής σε μετατοπισμένη διάταξη σωλήνων εναλλάκτη θερμότητας, που χρηματοποιείται ως υπερθερμαντήρας απού στους λέβητες της ΔΕΗ, [6]. Το σχήμα 12 α, δείχνει τη περιοχή επίλυσης του πεδίου ροής με το καμπυλόγραμμο ορθογώνιο πλέγμα γύρω από τους αυλούς, οι οποίοι περιορίζονται, από αριστερά προς τα δεξιά, από τα καυσαέρια που μεταφέρονται και στερεά σωματίδια από τη καύση του λυγνίτη. Στο σχήμα 12 β, παρουσιάζονται οι ισοστροβιλότητες του πεδίου ροής, όπου είναι εμφανής η εκπομπή στροβίλων πίσω από τους κυλίνδρους. Να σημειωθεί ότι, ο χρονικός χαρακτήρας του πεδίου ροής και η εκπομπή στροβίλων, δεν είναι δυνατόν να προβλεφθούν με το μοντέλο κ.ε. Η πρόλεξη του πεδίου ταχύτητας και η ανά-



Σχήμα 12γ: Χρονοσειρά στο  $x/d=1.6$ ,  $y/d=0.6$  της στιγμαίας και περιοδικής ταχύτητας καθώς και της τυρβώδους διαταραχής της ταχύτητας στη κατεύθυνση της κύριας ροής (στο  $x/d=1.6$ ,  $y/d=0.6$ ).

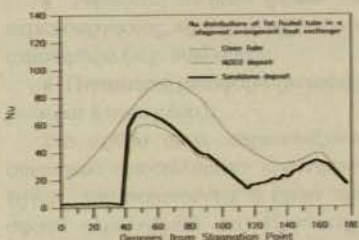
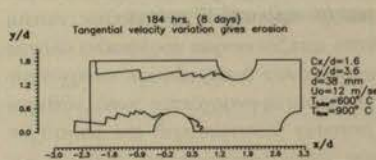


Σχήμα 12δ: Αδιαστατοποιημένο φάσμα συχνοτήτων της στιγμαίας ταχύτητας στη κατεύθυνση της κύριας ροής (στο  $x/d=1.6$ ,  $y/d=0.6$ ).



Υλικό Επικάθισης  $Al_2O_3$ :  $\lambda=7$ .  
 $W/m/K$ ,  $C_p=245\text{ J/kg/K}$

Σχήμα 12ε: Διανομές θερμοκρασίας σε μετατοπισμένη διάταξη κυλίνδρων της ΔΕΗ,  $T_{max}=1200\text{ C}$ ,  $T_{min}=700\text{ C}$



Σχήμα 12ζ: Διανομή αριθμού Nusselt στην επιφάνεια των τριών κυλίνδρων της μετατοπισμένης διάταξης με καθαρούς κυλίνδρους και κυλίνδρους με σχηματισμένη επικάθιση.

λυση της χρονοσειράς κατά Fourier, οδηγεί στην εύρεση της συχνότητας εκπομπής των στροβίλων κατάπιντα και τον υπολογισμό του αντίστοιχου αριθμού Strouhal, σχήματα 12 γ και 12 δ.

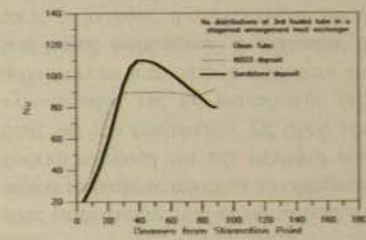
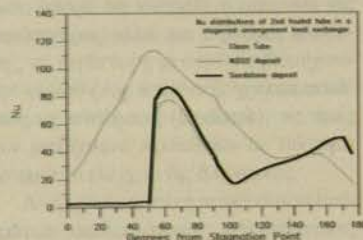
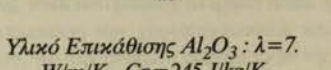
Τέλος το σχήμα 12ε, παρουσιάζει την επακάθηση των σωματιδίων πάνω στους αυλούς και την εξ' αυτής μείωση της μεταφοράς θερμότητας στους σωλήνες του εναλλάκτη, σχήμα 12ζ. Οι επακαθίσεις στους αυλούς εναλλάκτη ΔΕΗ, φαίνεται ότι φθάνουν σε ένα αμετάβλητο χρονικά ύψος, μέσα σε 12 ημέρες.

### 3. Συμπεράσματα προοπτικής της υπολογιστικής ψευστομηχανικής.

Η υπολογιστική ψευστομηχανική, ως επιστημονικός ιλαρός διερεύνησης πεδίων ροής παρουσιάζει στα τελευταία χρόνια ενδείξεις επιστημονικής αριματησης, τουλάχιστον από τη σκοπιά της μεθοδολογίας αριθμητικής επάλυσης των εξισώσεων Navier-Stokes (μέθοδοι διακριτοποίησης, ταχύτεροι επλυτές, τοπικά πλέγματα, αποσύνδεση χωρίων, παραλληλη επεξεργασία, κινούμενα πλέγματα) και απέδειξε ότι, αποτελεί

αξιόποστο εργαλείο σχεδίασης.

Τρία είναι τα σοβαρά προβλήματα που αναμένουν επίλυση τα επόμενα χρόνια. Το πρώτο αφορά τη προσομοίωση της τύρβης, που παρά την ουσιαστική πρόσοδο που επιτεύχθηκε με το μοντέλο των μεγάλων δινών, η επίλυση θα προέλθει με DNS μεθοδολογία, της οποίας η εφαρμογή σε τεχνολογικά προβλήματα είναι μακριά για πολλές δεκαετίες. Το δεύτερο πρόβλημα δεν είναι επιστημονικό, αλλά κυρίως τεχνολογικό και είναι αυτό της δημιουργίας αριθμητικού πλέγματος, δομημένου ή μη, σε σύνθετες γεωμετρίες.



Η αυτοματοποίηση δημιουργίας τέτοιων πλεγμάτων, αποτελεί τεχνολογία πρόκλησης.

Το τρίτο, αφορά την ταχύτητα εκτέλεσης αριθμητικών πράξεων, που παρά την εκπληρωτική αύξηση της υπολογιστικής ταχύτητας των επεξεργαστών, εξακολουθεί να είναι μικρή, για την κάλυψη των αναγκών της υπολογιστικής ρευστομηχανικής.

Πάντως, είναι πλέον ή φανερό ότι, η εισαγωγή της υπολογιστικής ρευστομηχανικής στη διαδικασία σχεδίασης (π.χ μηχανών εσωτερικής καύσης, λεβήτων, κ.λπ), μείωσε το χρόνο μεταξύ πρωτούπου και παραγωγής στο 10%, περίπου, από ότι πριν από 10 χρόνια.

## Βιβλιογραφία

1. Papadakis, G. and Bergeles, G. , "A Locally Modified Second Order Upwind Scheme for Convection Terms Discretization", International Journal for Numerical Methods for Heat and Fluid Flows, vol.5, pp.49-62, 1995.
2. Varonos, A. and Bergeles, G., "Development and Assessment of a Variable-Order Non-Oscillatory Scheme for Convection Term Discretization", International Journal for Numerical Methods in Fluids, vol.26, pp.1-16, (1998).
3. Giabanis, A., Anagnostopoulos, J. and Bergeles, G. , "Numerical Simulation of Pollutant Dispersion and Photochemical Kinetics over Complex Terrain", Applied Mathematical Modelling, vol.22, pp.313-329, (1998).
4. A. Varonos, G. Bergeles, Performance predictions in a 450 MWth utility boiler with Nox emissions reduction configuration, Proceedings 4th International conference on Technologies and combustion for clean environment, vol I, 7-10 July 1997, Lisbon.
5. A. Theodorakakos, G. Bergeles, Numerical Investigation of the flow inside a 4-X IC model diesel engine, ENTROPIE, no 200, pp 53-63, 1996
6. D. Bouris , G. Bergeles, Two dimensional time dependent simulation of the subcritical flow in a staggered tube bundle using a subgrid scale model, International JHFF, Vol. 20, pp 105-114, 1999.